

A large, jagged iceberg floats in the center of the frame, its surface textured with various ice formations. The water is a deep, dark blue, and the sky is filled with heavy, grey clouds. In the foreground, a smaller, more rounded piece of ice floats on the water's surface. The overall scene is somber and atmospheric.

INTRODUÇÃO À CEFALOMETRIA

Cefalometria

The background of the slide is a photograph of several large icebergs floating in a dark blue sea under a cloudy, overcast sky. The icebergs are of various shapes and sizes, with some showing jagged, crystalline structures. The water is calm, reflecting the light from the sky.

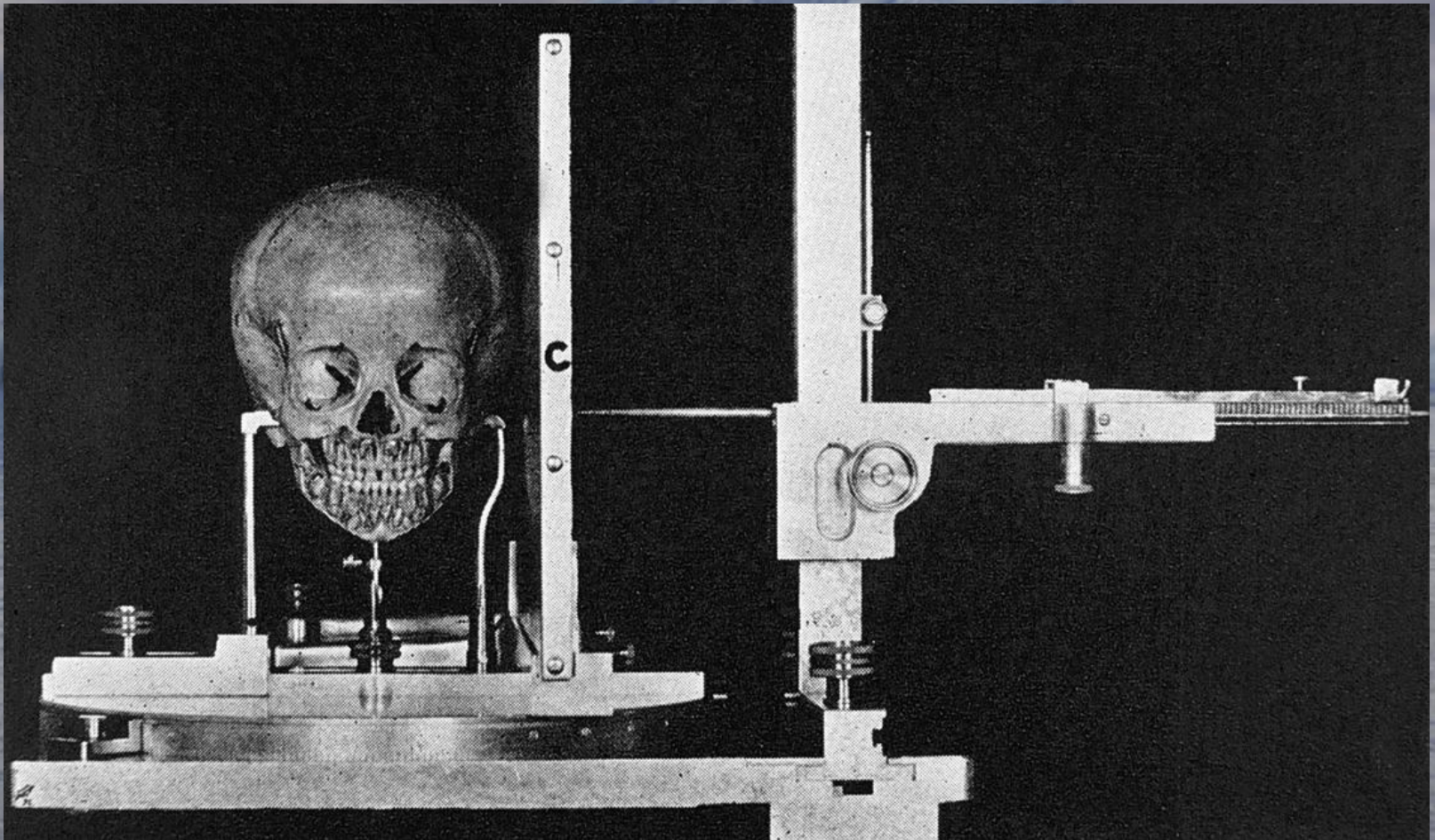
- **Fase Empírica (Antropologia)**
- **Fase Científica (1931)**
 - **Broadbent – USA**
 - **Hofrath – Alemanha**

Cefalometria radiográfica

Origem



Craniometria

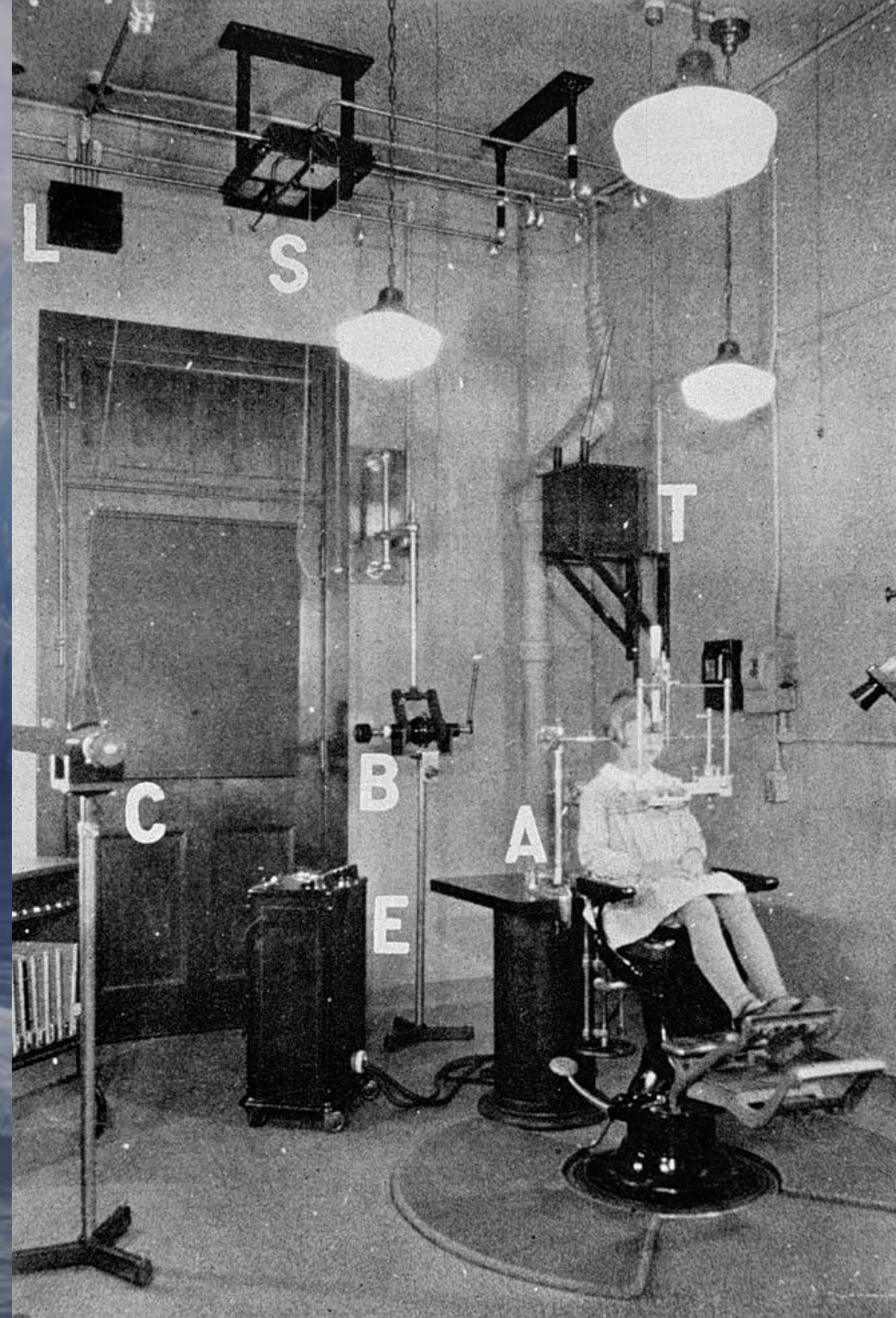


Cefalostato

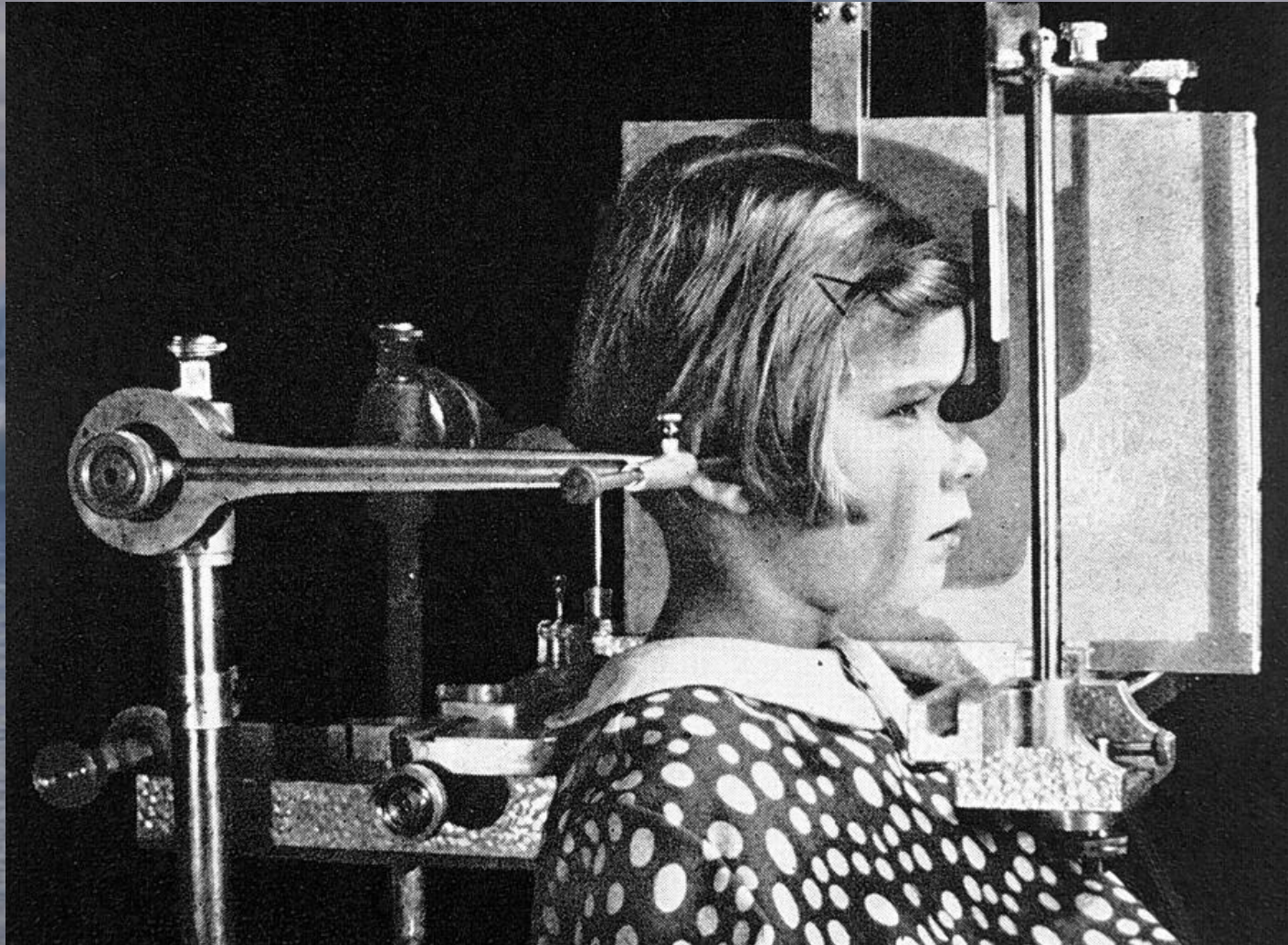
Broadbent

Hofrath

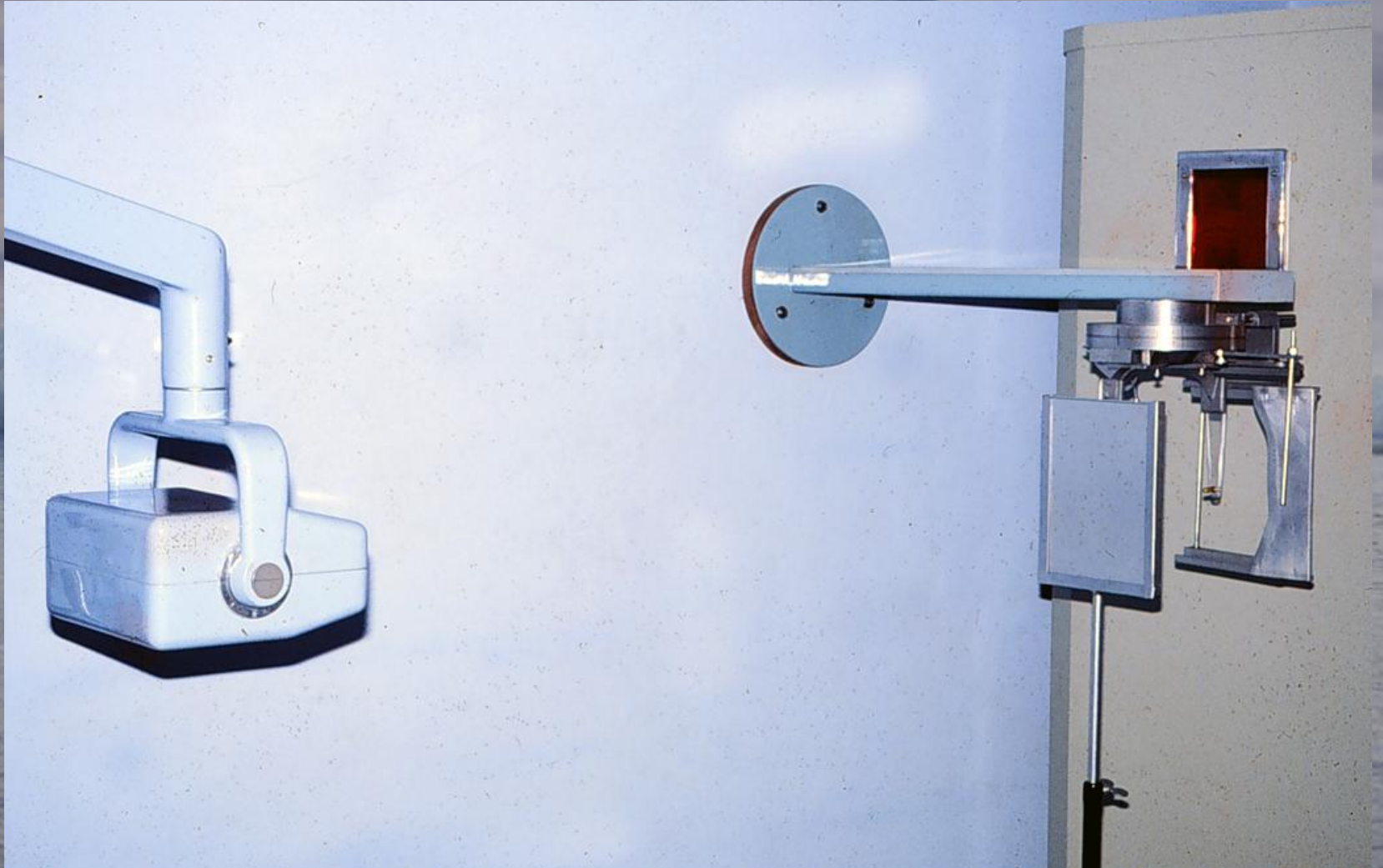
(1931)



Cefalostato



Cefalostato



Cefalostato



Posição da cabeça do paciente

- Posicionadores auriculares – conduto auditivo externo
- Indicador nasal – altura do Nasio

Orientações ao paciente

- manter os dentes em OC
- lábios em repouso
- não deglutir ou respirar

Posição da cabeça do paciente



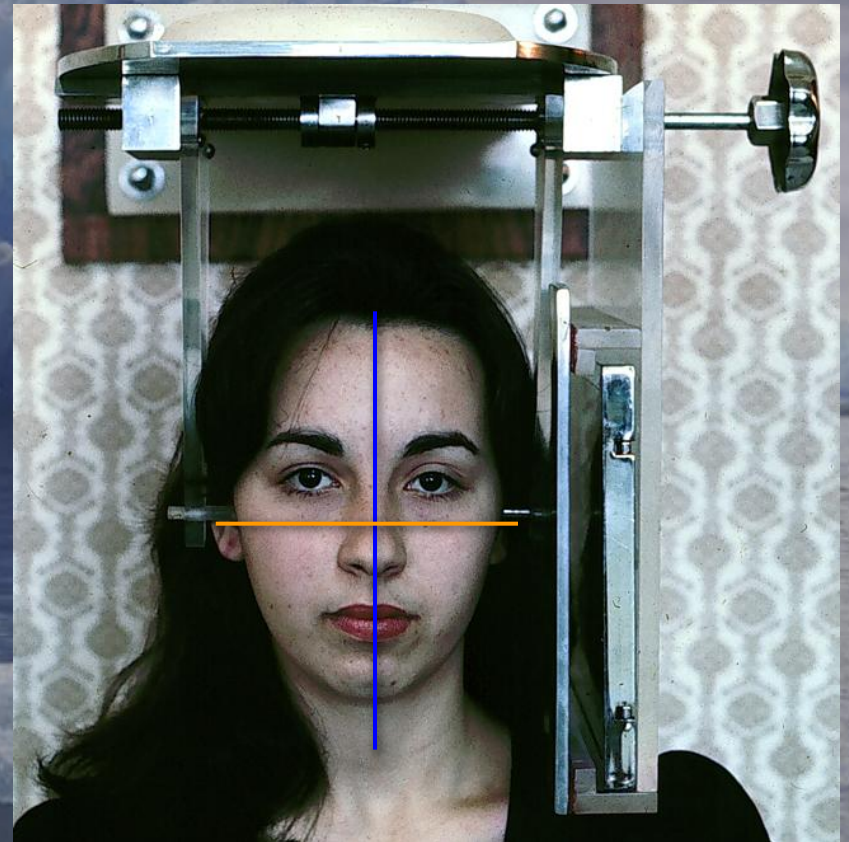
Posição da cabeça do paciente

Plano Sagital Mediano

- paralelo ao filme
- perpendicular ao feixe de raios-X

Plano Horizontal de Frankfort

- paralelo ao solo



Distância objeto - filme

Fator de nitidez
e distorção

plano sagital mediano

ao filme

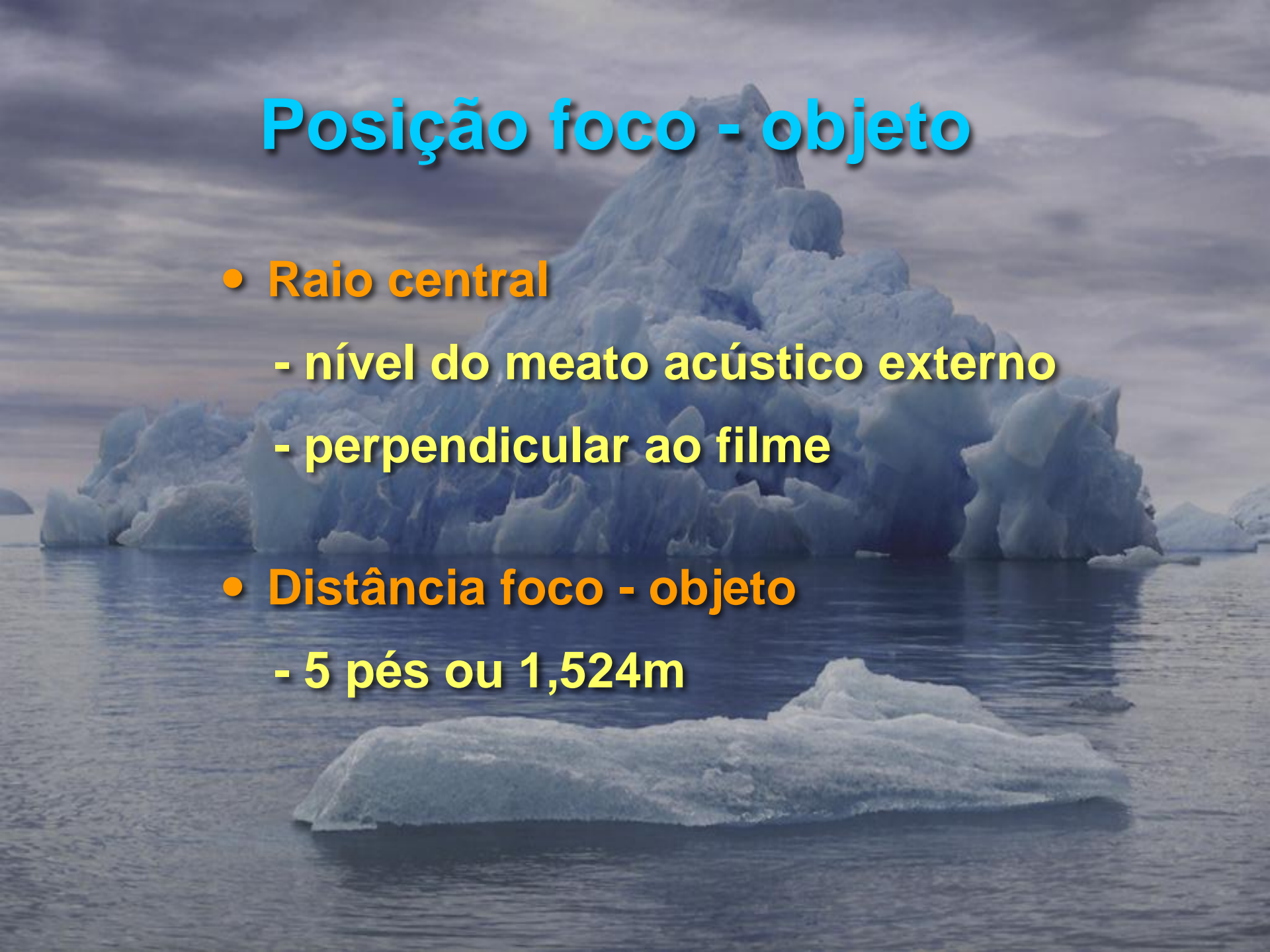
9 a 13 cm

Ampliação 6 a 8,5%



Posição foco - objeto

- **Raio central**
 - nível do meato acústico externo
 - perpendicular ao filme
- **Distância foco - objeto**
 - 5 pés ou 1,524m

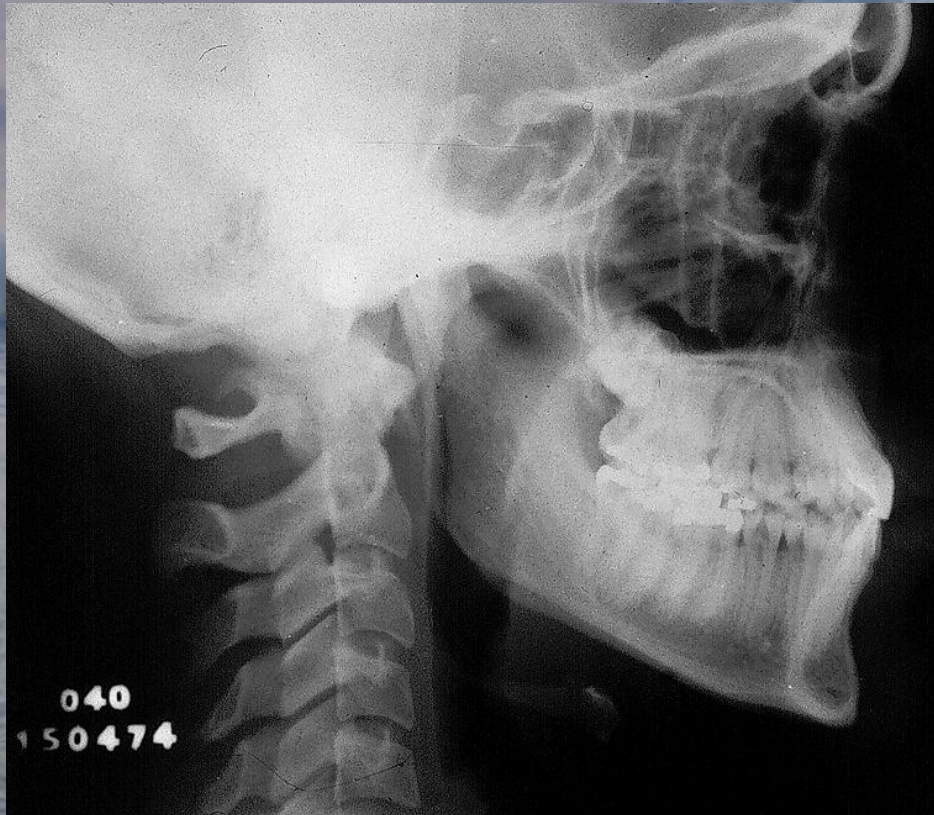


Relação entre mA, KVp e tempo de exposição

- **Miliamperagem: 50 – 100 mA**
 - determina a densidade da radiografia
 - fator perigoso da radiação
- **Quilovoltagem: 80 – 96 KVp**
 - determina o contraste entre os tecidos duros e moles
- **Tempo de exposição**
 - ecran (20 vezes)

Relação mA - KVp

Determinante da força de penetração dos raios X



Tomografias Cone Beam

Extrabucais



Radiografia panorâmica



Cefalométrica Lateral

Tomografias Cone Beam

Extrabucais

Telerradiografias Pósterio-anteriores



Tomografias Cone Beam

Extrabucais

Radiografia de ATM



Tomografias Cone Beam

Intrabucais

Radiografia Periapical



Radiografia Interproximal



Tomografias Cone Beam

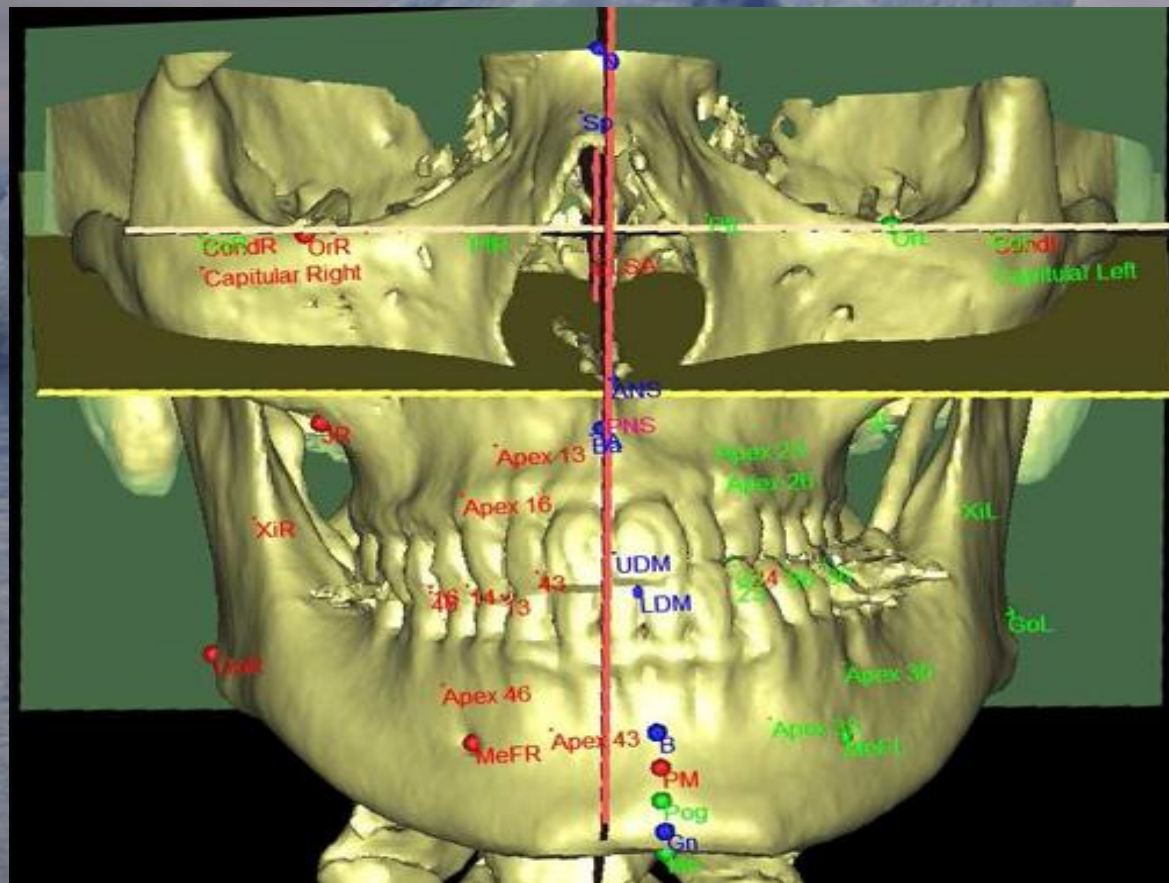
Intrabucais

Radiografia Oclusal



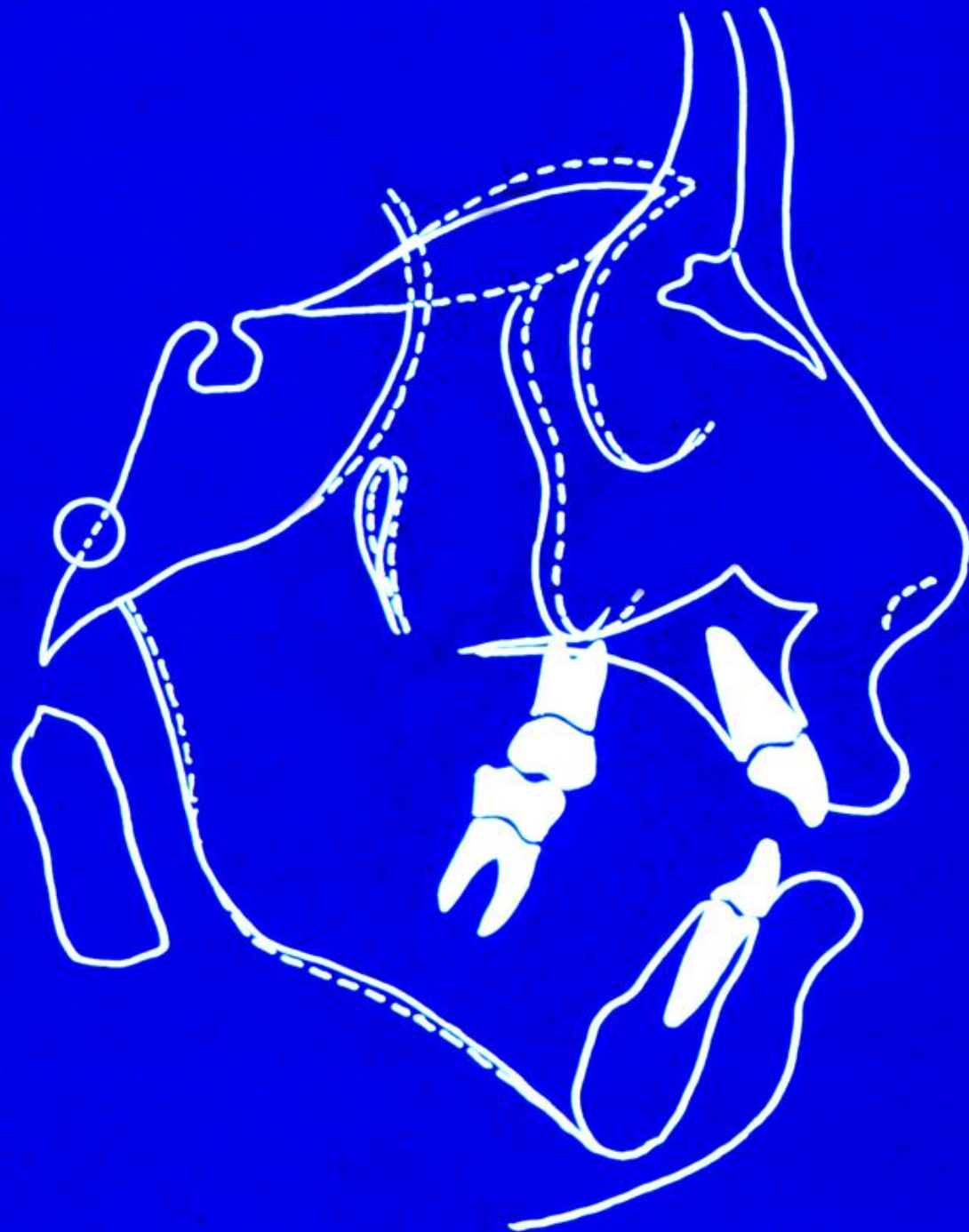
Tomografias Cone Beam

Cefalometria 3D

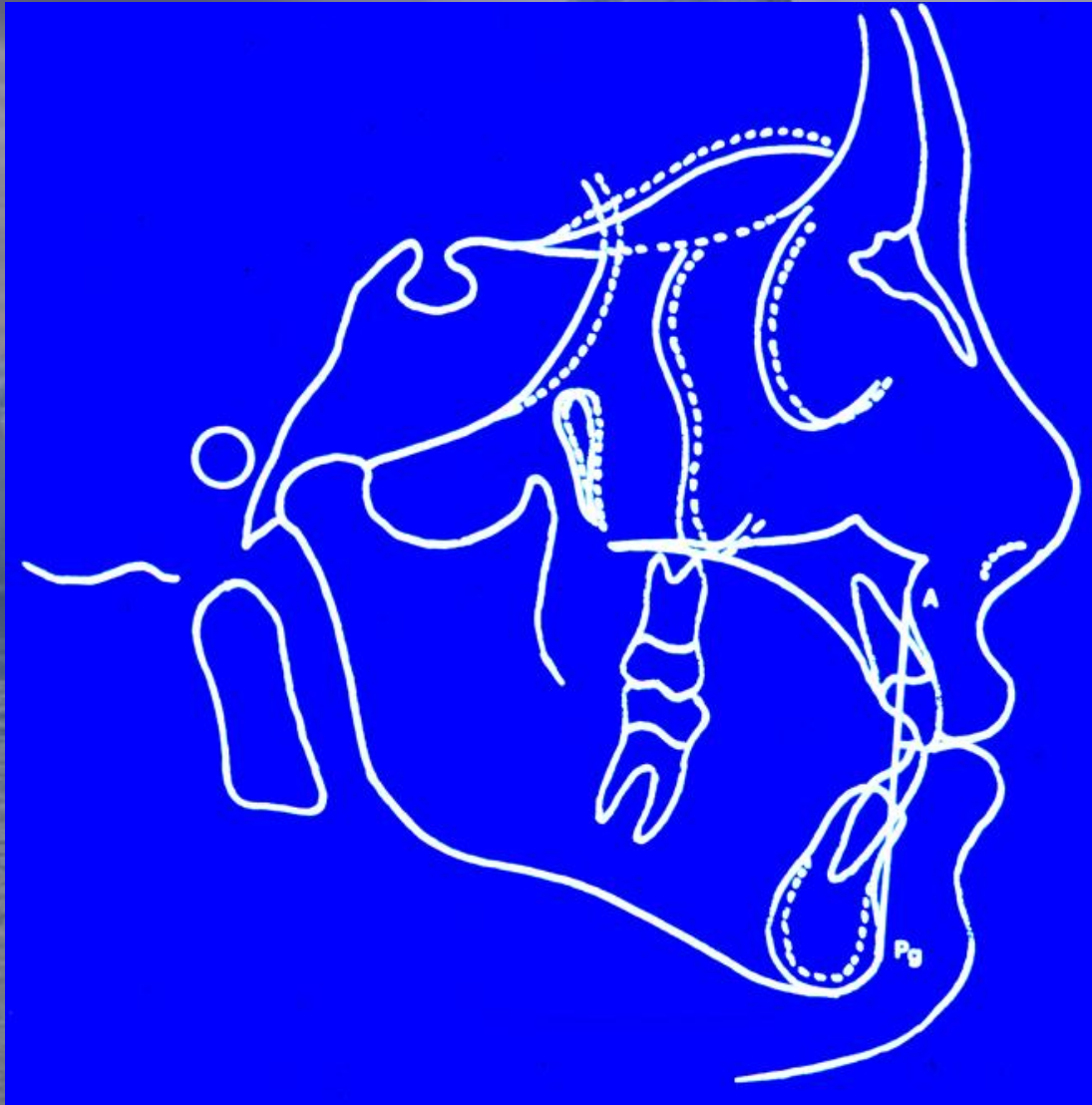


Traçado Cefalométrico

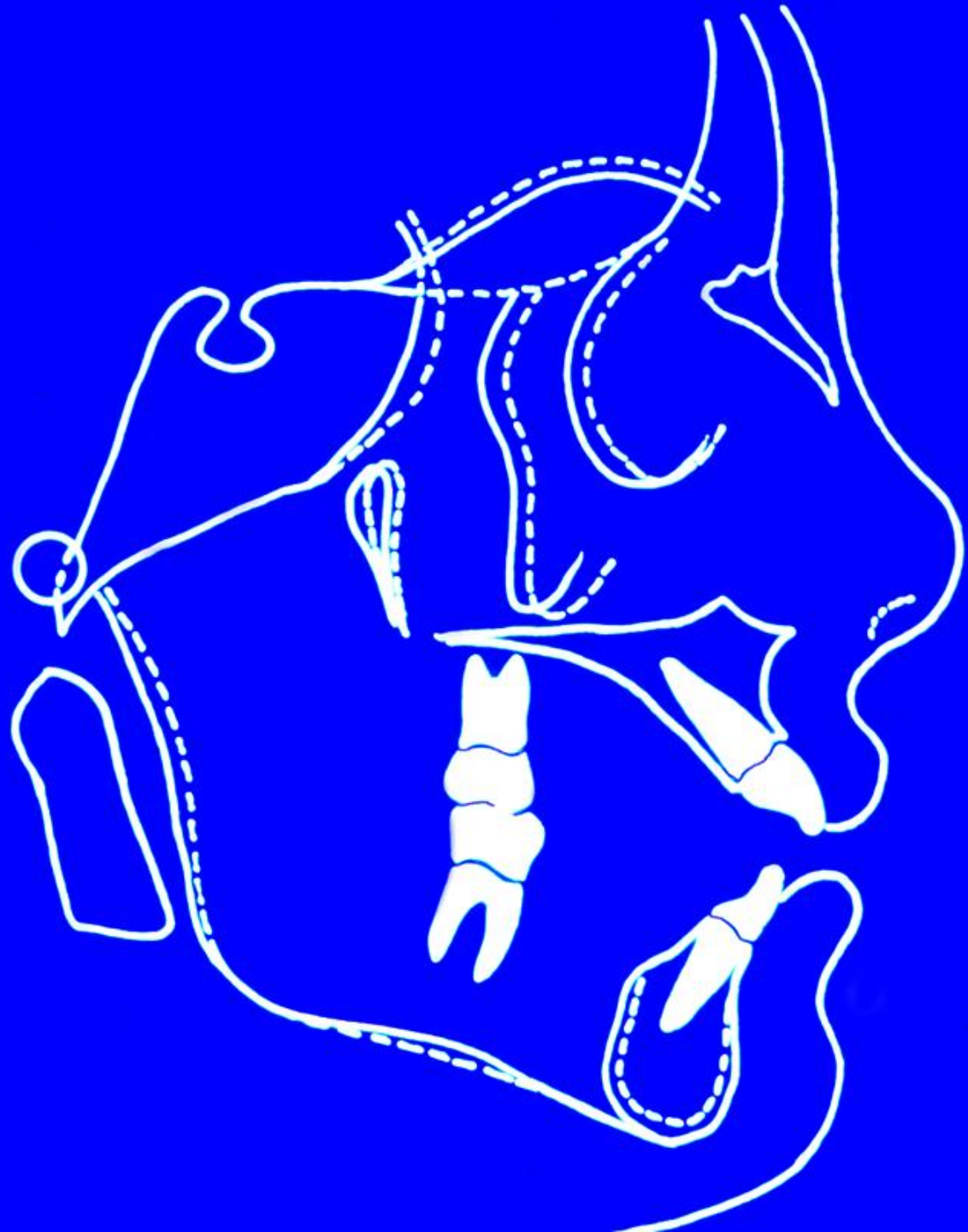
Manual ou Computadorizado



Traçado Cefalométrico



Traçado Cefalométrico



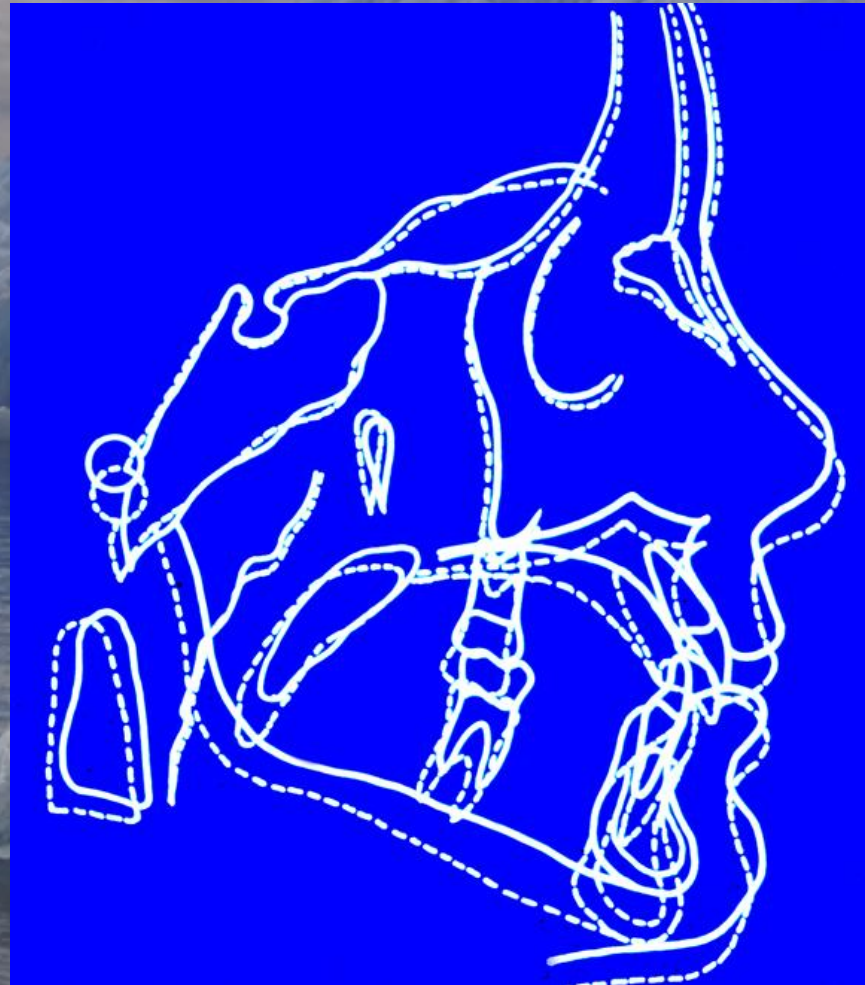
Aplicações da cefalometria

Estudo do crescimento crânio-facial



Aplicações da cefalometria

Estudo do crescimento crânio-facial



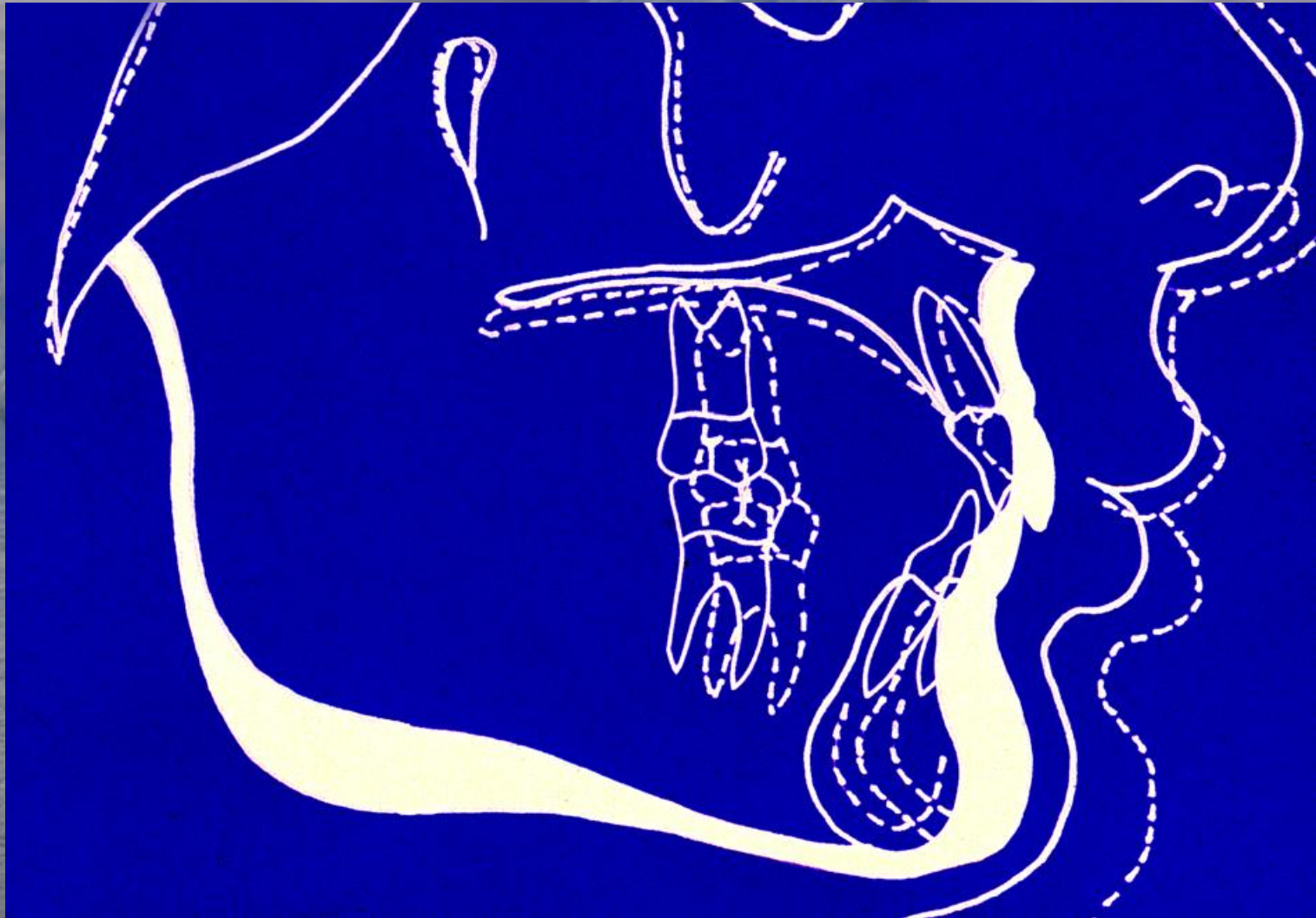
Aplicações da cefalometria

Estudo do crescimento crânio-facial



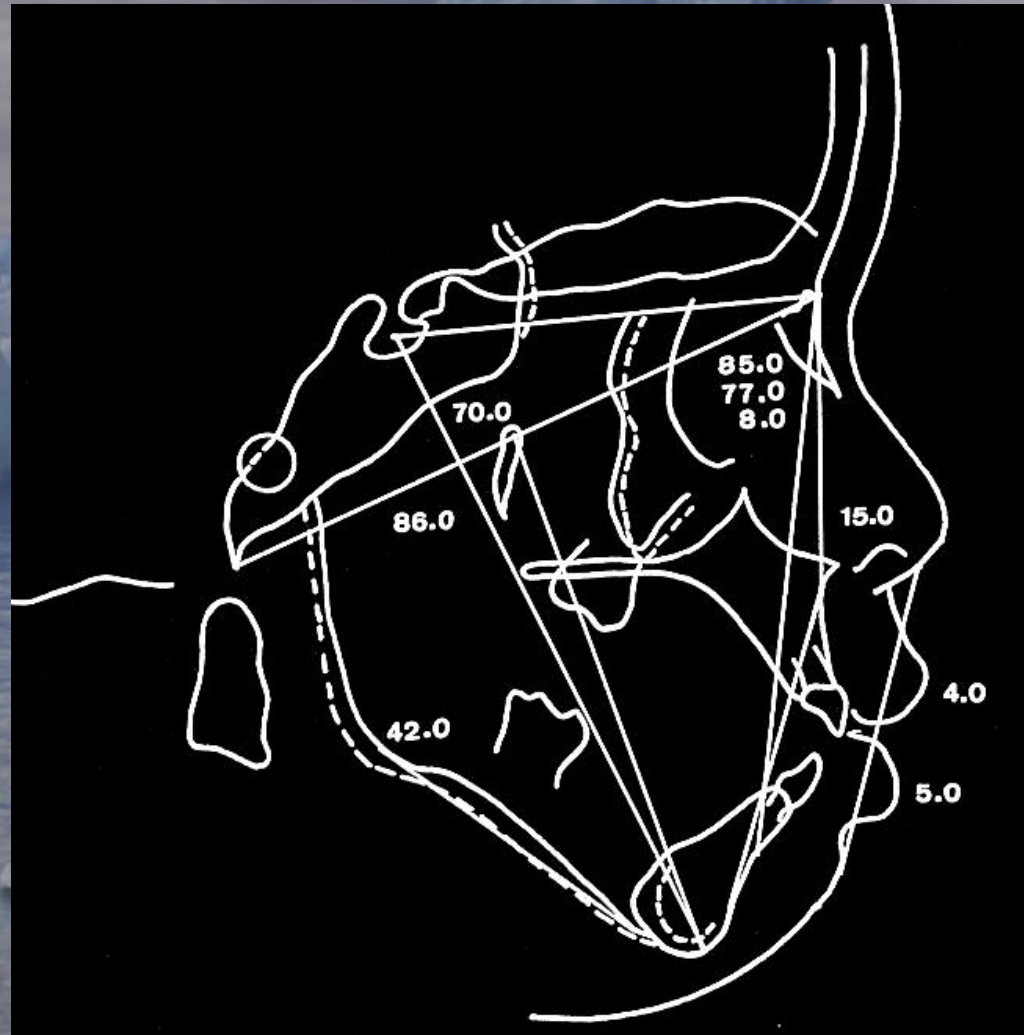
Aplicações da cefalometria

Estudo do crescimento crânio-facial



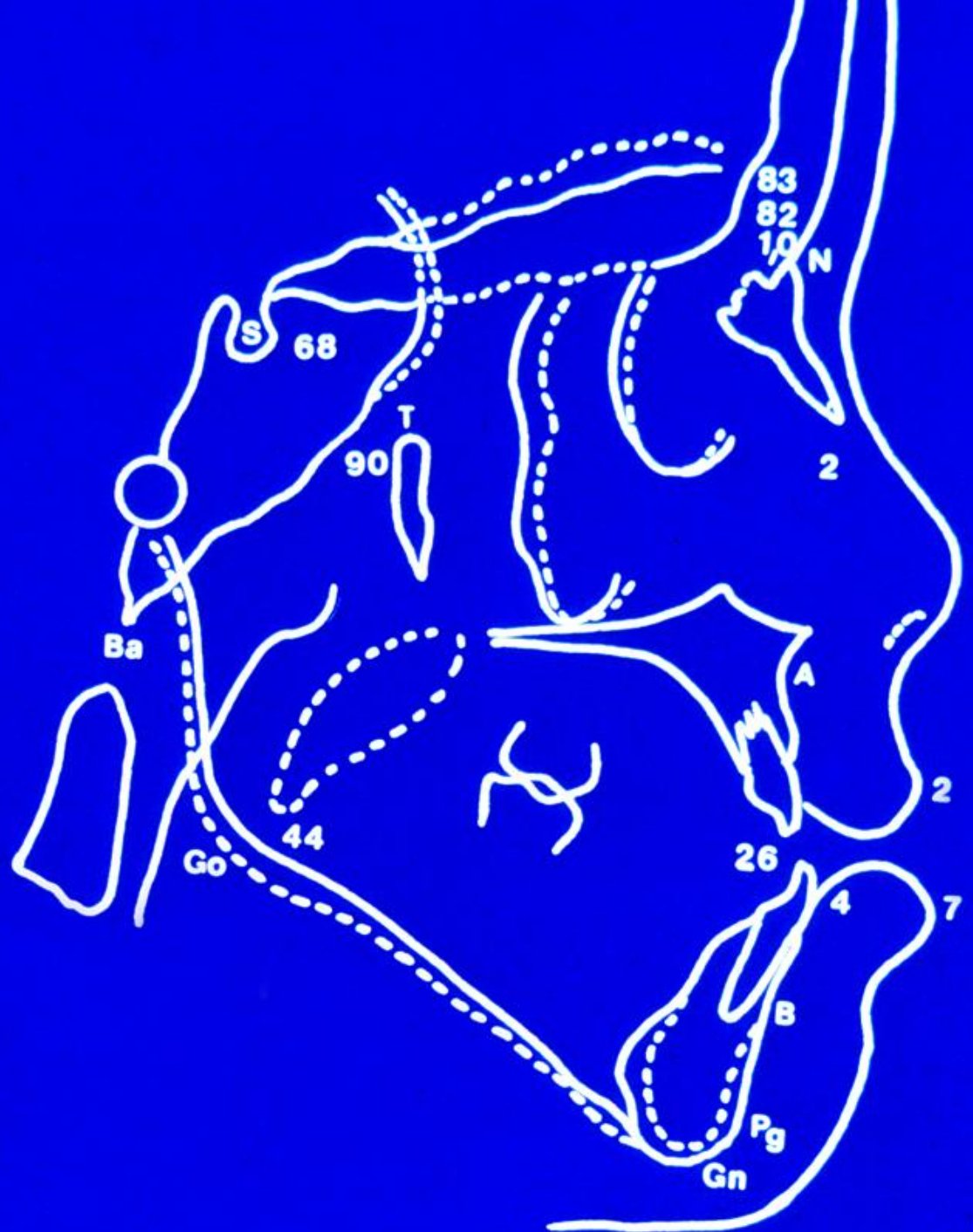
Aplicações da cefalometria

Diagnóstico e planejamento do tratamento



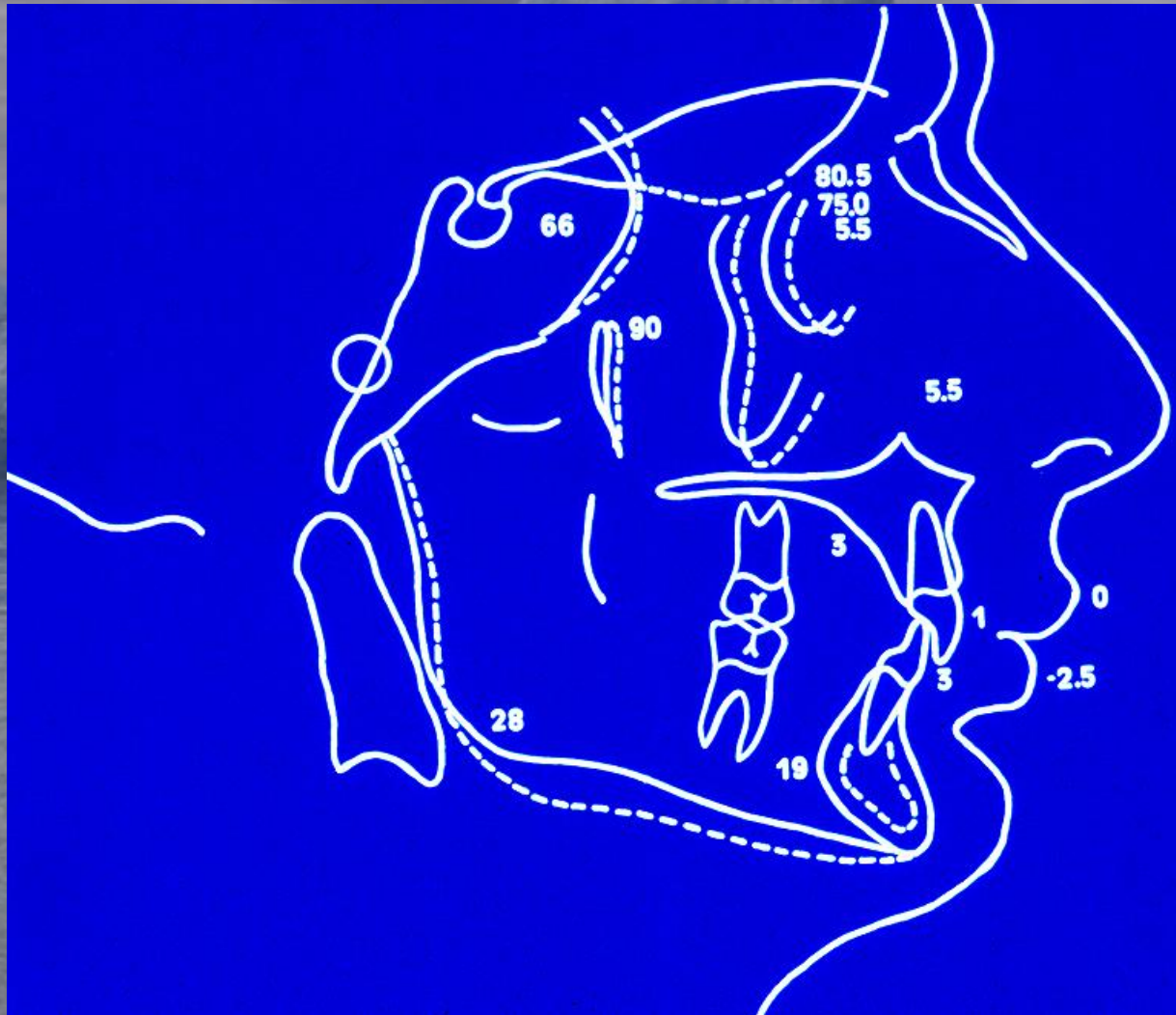
Aplicações da cefalometria

Diagnóstico e
Planejamento
do Tratamento



Aplicações da cefalometria

Diagnóstico e planejamento do tratamento



Aplicações da cefalometria

Avaliação do espaço naso-faríngeo



Aplicações da cefalometria

**Diagnóstico das
assimetrias
esqueléticas
através das
radiografias
póstero-anteriores**



Aplicações da cefalometria

Avaliação dos resultados pós-tratamento

